

**Расчетно-экспериментальное исследование стойкости композитной керамической брони при воздействии пуль и высокоскоростных осколков**

к.ф.-м.н. доц. Кулаков Н.А., к.т.н. доц. Любин А.Н., Скакбаева А.С.

Университет машиностроения  
(495) 223-05-23 доб. 1507, [kulakov@mami.ru](mailto:kulakov@mami.ru)

**Аннотация.** В статье представлены результаты расчетно-экспериментального исследования стойкости композиционной керамической брони при воздействии пуль и высокоскоростных осколков. На основе анализа проведённых экспериментов была отработана расчётная конечно-элементная модель, которая позволила провести многовариантные расчеты различных конструктивных образцов брони с целью выбора наиболее рационального. Показано влияние геометрических параметров керамического элемента на прочность брони.

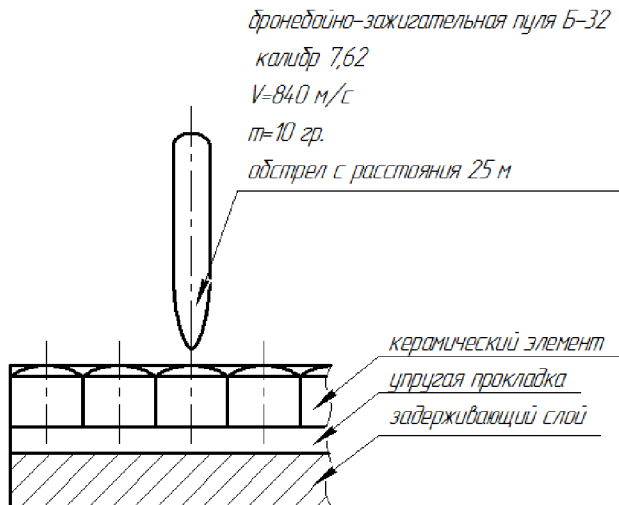
**Ключевые слова:** композиционная керамическая броня, высокоскоростные осколки, керамический элемент.

Целью настоящей работы явилось расчётно-экспериментальное исследование стойкости композитной керамической брони при воздействии бронебойных пуль калибра 7,62 мм при скорости контакта с бронёй  $V = 840$  м/с, калибра 14,5 мм при  $V = 900$  м/с и высокоскоростных осколков при  $V = 1500$  м/с.

Подробное рассмотрение конструкции композитной брони, её конструктивных вариантов и их особенностей, а также механизма взаимодействия композитной керамической брони с пулей и особенностей расчёта этого взаимодействия было представлено авторами в более ранних работах [2, 3].

В рамках данной работы были проведены многочисленные баллистические эксперименты по обстрелу различных образцов композитной керамической брони. На основе анализа проведённых экспериментов была отработана расчётная конечно-элементная модель, которая позволила провести многовариантные расчеты различных конструктивных образцов брони с целью выбора наиболее рационального.

На рисунке 1 приведены исходные данные по одному из образцов композитной брони, подвергнутых баллистическим испытаниям. Это случай обстрела композитной керамической брони бронебойной пулей марки Б-32 калибра 7,62 мм со скоростью 840 м/с, толщина задерживающего слоя 10 мм.

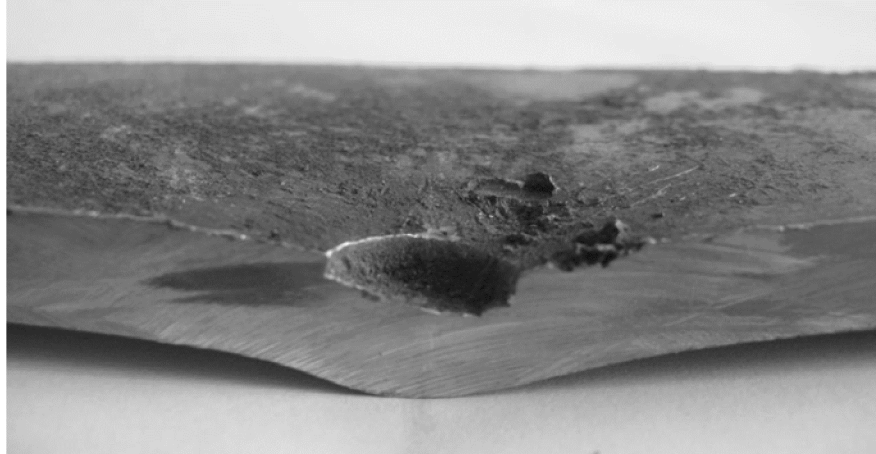


**Рисунок 1 - Исходные данные для баллистических испытаний одного из образцов композитной брони**

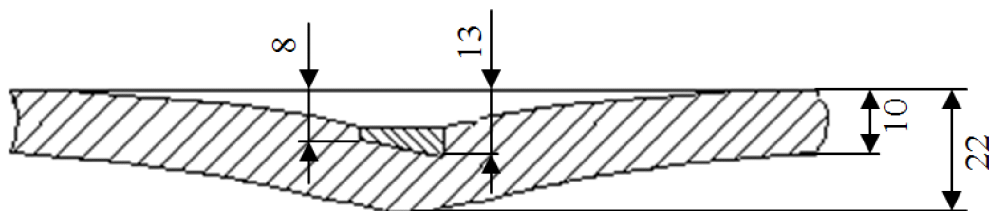
Баллистические испытания позволили получить следующие результаты: максимальное перемещение (прогиб) задерживающего слоя 22 мм и максимальная деформация задерживающего слоя 13 мм (рисунки 2 и 3).

На рисунке 3 указано максимальное перемещение верхней точки задерживающего слоя.

Следует отметить, что в эксперименте попадание пули пришлось не строго по центру керамического элемента, о чем свидетельствует фотография, приведённая на рисунке 2. Видно, что керамический элемент неравномерно деформировал задерживающий слой, поэтому речь должна идти о минимальном перемещении верхней точки задерживающего слоя в месте контакта с керамическим элементом. При этом, как показали замеры, указанное минимальное значение перемещения составило 8 мм. Для сравнительного анализа с расчётным значением перемещения целесообразно брать среднее, экспериментально полученное значение перемещения верхней точки задерживающего слоя, а именно 10,5 мм.



**Рисунок 2 - Фотография задерживающего слоя образца композитной брони после его баллистических испытаний, с разрезом задерживающего слоя по оси симметрии**



**Рисунок 3 - Результаты обработки баллистических испытаний образца композитной брони. Экспериментально полученные максимальные значения перемещений в верхней и в нижней точках задерживающего слоя соответственно составили 13 мм и 12 мм. Экспериментально полученное минимальное перемещение верхней точки составило 8 мм**

Проведены расчёты в динамической постановке упругопластического напряженно-деформированного состояния в контактной задаче взаимодействия керамического элемента с задерживающим слоем брони. При конечно-элементном моделировании выбиралась точность аппроксимации конечных элементов, оценивалось влияние выбора граничных условий, выбора коэффициента демпфирования, влияние упругой прокладки на результаты расчётов. В результате была получена осесимметричная конечно-элементная модель, по которой проводились дальнейшие расчеты. Исходные данные для расчёта представлены на рисунке 4.

Физико-механические характеристики материалов:

- $\text{Al}_2\text{O}_3$ :  $\rho=4000 \text{ кг}/\text{м}^3$ ,  $E=4\cdot10^{11} \text{ Па}$ ,  $\mu=0,22$ ;
- АМГ6:  $\rho=2640 \text{ кг}/\text{м}^3$ ,  $E=0,71\cdot10^{11} \text{ Па}$ ,  $\mu=0,3$ ,  $\sigma_t=155 \text{ МПа}$ ,  $\sigma_{vp}=315 \text{ МПа}$ ,  $\delta=15 \%$ .

Конечно-элементная расчётная схема, представленная на рисунке 5, содержит: для керамического элемента – количество узлов 396, количество элементов 360; для задерживающего слоя – количество узлов 6321, количество элементов 6000.

Результаты расчёта рассматриваемого образца брони представлены в таблице 1 в виде расчётного максимального перемещения (прогиба) и на рисунке 6 – в виде картины напряжений на деформируемом задерживающем слое в момент наибольшего его прогиба.

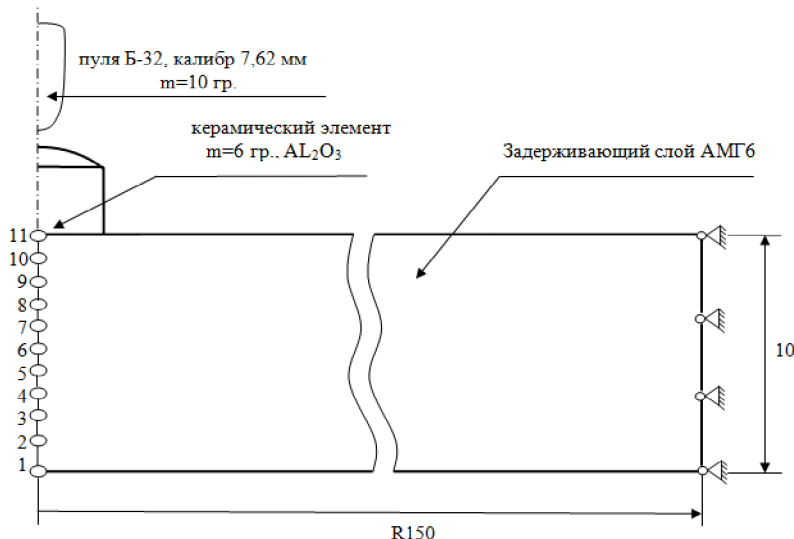


Рисунок 4 - Исходные данные для расчёта

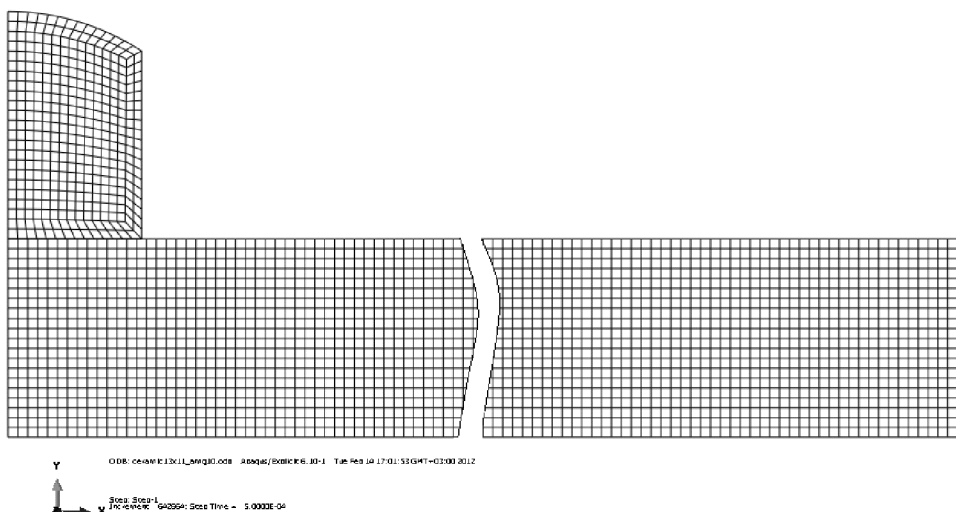
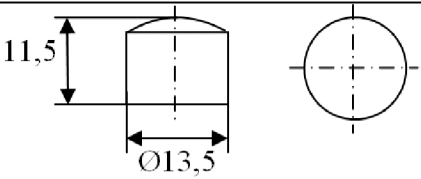
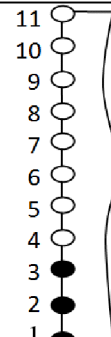
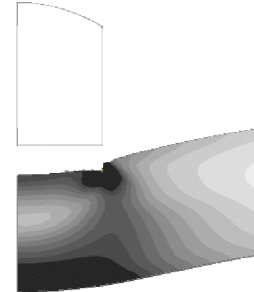


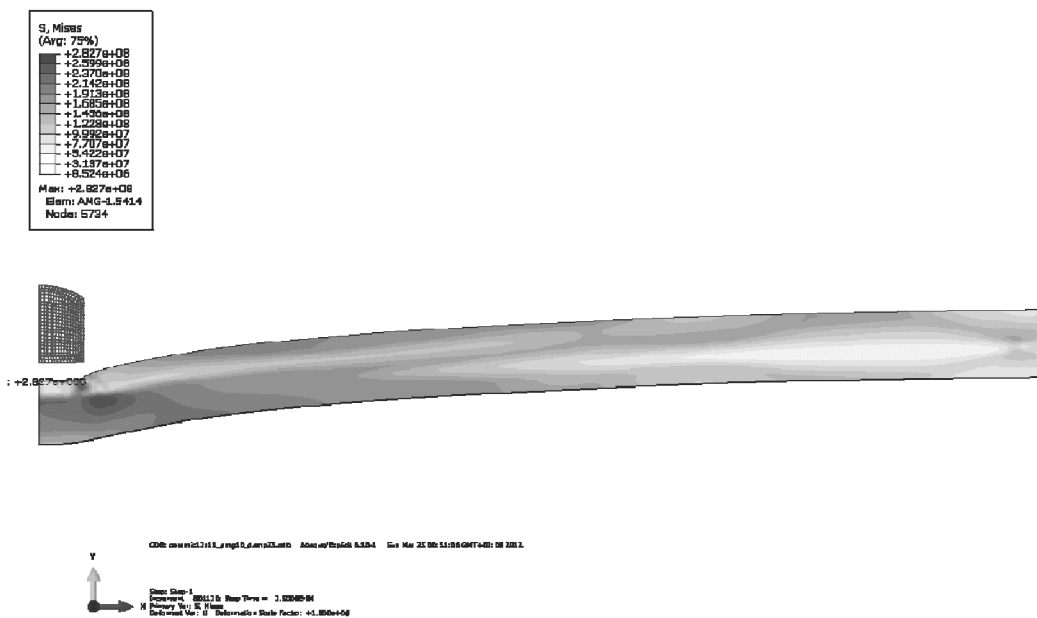
Рисунок 5 - Укрупнённая конечно-элементная расчетная схема

Таблица 1

Результаты расчета образца № 1 композитной брони

Исходные данные по образцу композитной брони	Расчётное максимальное значение перемещения (прогиба)	Расположение расчётных точек по оси симметрии задерживающего слоя	Картина деформаций задерживающего слоя в момент максимального прогиба
 <p>Скорость после соударения с пулей: 525 м/с</p> <p>Суммарная масса керамического элемента и пули: 16 гр.</p>	<p>в точке 11: <b>10,7 мм</b></p> <p>в точке 1: <b>10 мм</b></p>		

Черный цвет – превышение предельных значений деформаций. Предельное значение деформаций – 15%.



**Рисунок 6 - Картина напряженно-деформированного состояния задерживающего слоя композитной брони в момент наибольшего его прогиба**

Несущая способность задерживающего слоя оценивалась по максимальным расчетным деформациям (см. рисунок 4 и таблицу 1).

Сравнительный анализ полученных экспериментальных и расчётных результатов показывает хорошее совпадение по перемещениям, соответственно для верхней точки задерживающего слоя 10,5 мм и 10,7 мм и для нижней точки 12 мм и 10 мм. По результатам расчёта видно, что для некоторых расчётных точек максимальные деформации превышают предельное значение (см. таблицу 1). Это объясняется тем, что в данном расчёте рассматривается наиболее критический случай, соответствующий попаданию пули строго по центру керамического элемента, чего при испытаниях добиться крайне сложно. Кроме того, в данном расчёте не учитывалось наличие имеющейся в экспериментальном образце упругой прокладки. В целом отработанная расчётная модель даёт удовлетворительные, вполне объяснимые сравнительные результаты с экспериментальными данными и позволяет провести многовариантные расчёты различных конструктивных образцов брони с целью выбора наиболее рационального.

Было проведено исследование влияния площади контакта (основания) керамического элемента с задерживающим слоем на максимальный прогиб задерживающего слоя при условии одинаковой массы различных керамических элементов.

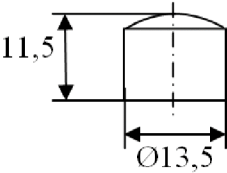
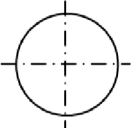
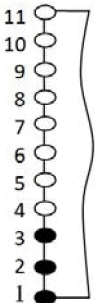
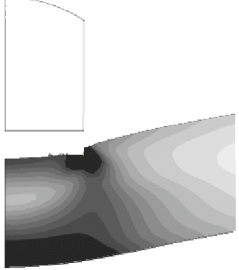
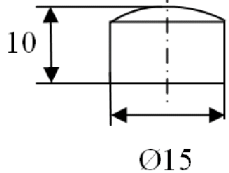
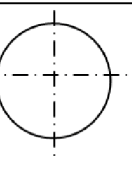
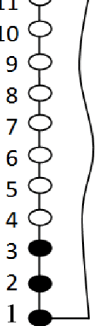
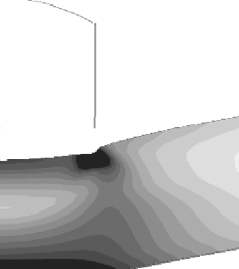
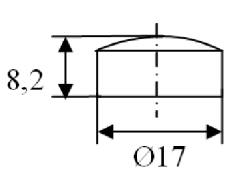
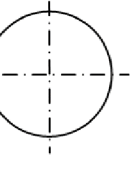
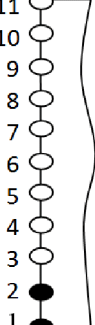
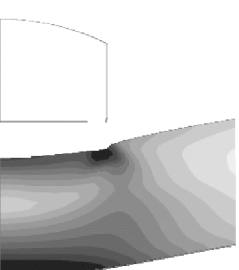
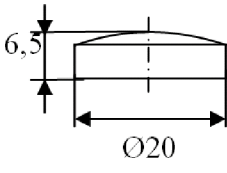
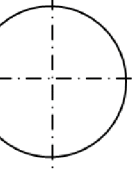
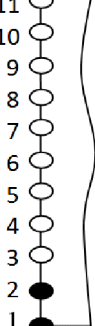
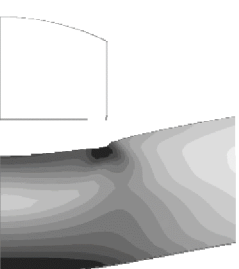
Результаты исследования показаны на рисунке 7 и в таблице 2. Видно, что существенное влияние на несущую способность композитной брони оказывает диаметр керамического элемента, т.е. площадь его основания.



**Рисунок 7 - График зависимости максимального прогиба задерживающего слоя от диаметра керамического элемента**

Таблица 2

**Результаты исследования влияния диаметра основания керамического элемента на прогиб задерживающего слоя**

Исходные данные по образцу композитной брони	Расчётное максимальное значение перемещения (прогиба)	Расположение расчётных точек по оси симметрии задерживающего слоя	Картина деформаций задерживающего слоя в момент максимального прогиба
  Скорость после соударения с пулей: 525 м/с Суммарная масса керамического элемента и пули: 16 гр.	в точке 11: <b>10,7 мм</b> в точке 1: <b>10 мм</b>		
  Скорость после соударения с пулей: 525 м/с Суммарная масса керамического элемента и пули: 16 гр.	в точке 11: <b>10,3 мм</b> в точке 1: <b>9,7 мм</b>		
  Скорость после соударения с пулей: 525 м/с Суммарная масса керамического элемента и пули: 16 гр.	в точке 11: <b>9,9 мм</b> в точке 1: <b>9,4 мм</b>		
  Скорость после соударения с пулей: 525 м/с Суммарная масса керамического элемента и пули: 16 гр.	в точке 11: <b>9,8 мм</b> в точке 1: <b>9,3 мм</b>		

Черный цвет – превышение предельных значений деформаций. Предельное значение деформаций – 15%.

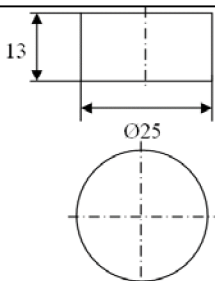
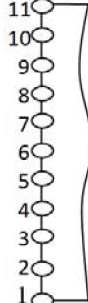
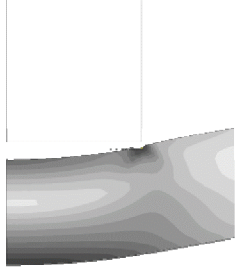
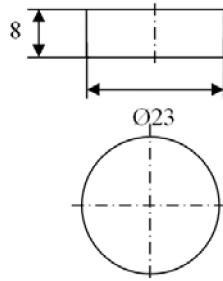
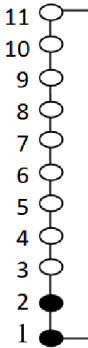
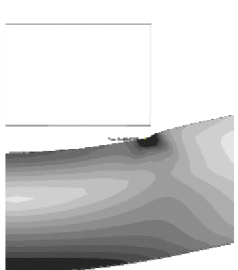
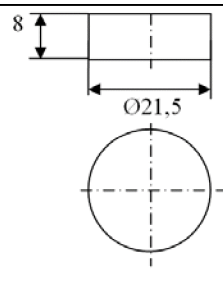
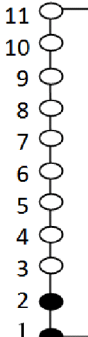
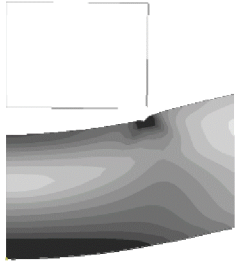
Рассматриваемую в работе конструкцию композитной брони предполагается использо-

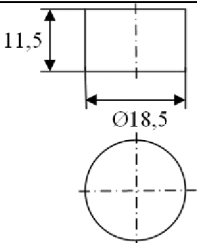
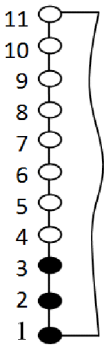
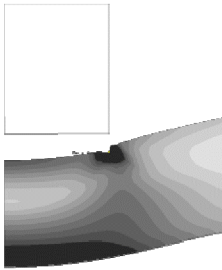
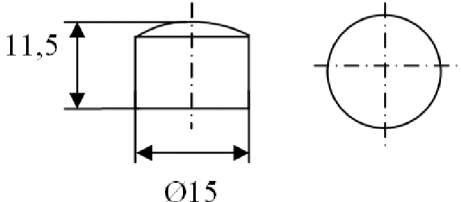
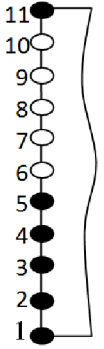
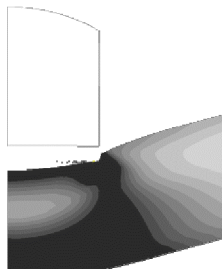
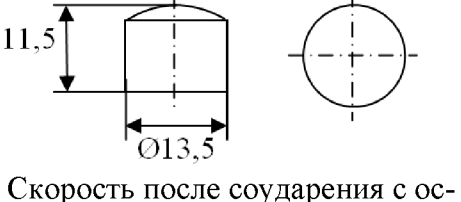
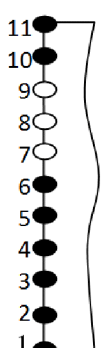
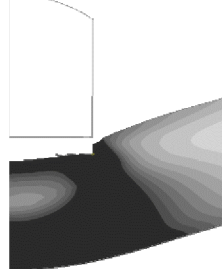
вать в качестве защиты не только от пуль, но и от осколков, которые имеют место при подрыве противолокационных ракет. При их подрыве происходит разлет осколков различной массы и скорости. Перед началом работы были заданы параметры осколочного воздействия, а именно: скорость, масса осколков и вероятный сценарий их воздействия на командно-технический пункт. Определены углы попадания осколка в различные панели кузова-контейнера при наиболее вероятном способе поражения.

Для указанных параметров по рассмотренной выше методике были проведены предварительные расчеты композитной защиты (см. таблицу 3).

Таблица 3

**Результаты расчетов композитной брони при воздействии высокоскоростных осколков**

Исходные данные по образцу композитной брони	Расчётное максимальное значение перемещения (прогиба)	Расположение расчётных точек по оси симметрии задерживающего слоя	Картина деформаций задерживающего слоя в момент максимального прогиба
 <p>Скорость после соударения с осколком: 323 м/с Суммарная масса керамического элемента и осколка: 32,5 гр.</p>	<p>в точке 11: <b>10,8 мм</b> в точке 1: <b>10,5 мм</b></p>		
 <p>Скорость после соударения с осколком: 517 м/с Суммарная масса керамического элемента и осколка: 20,3 гр.</p>	<p>в точке 11: <b>11,9 мм</b> в точке 1: <b>11,3 мм</b></p>		
 <p>Скорость после соударения с осколком: 564 м/с Суммарная масса керамического элемента и осколка: 18,6 гр.</p>	<p>в точке 11: <b>12,2 мм</b> в точке 1: <b>11,6 мм</b></p>		

 <p>Скорость после соударения с осколком: 542 м/с Суммарная масса керамического элемента и осколка: 19,4 гр.</p>	<p>в точке 11: <b>12,5 мм</b></p> <p>в точке 1: <b>11,8 мм</b></p>		
 <p>Скорость после соударения с осколком: 750 м/с Суммарная масса керамического элемента и осколка: 14 гр.</p>	<p>в точке 11: <b>14,4 мм</b></p> <p>в точке 1: <b>13,5 мм</b></p>		
 <p>Скорость после соударения с осколком: 810 м/с Суммарная масса керамического элемента и осколка: 13 гр.</p>	<p>в точке 11: <b>15,3 мм</b></p> <p>в точке 1: <b>14,1 мм</b></p>		

Черный цвет – превышение предельных значений деформаций. Предельное значение деформаций – 15%.



**Рисунок 8 - Момент попадания осколка в композитную броню**

По результатам расчетов видно, что наиболее приемлемыми являются керамические элементы с высотой не менее 13 мм и диаметром не менее 25 мм.

На основании результатов расчетов были изготовлены варианты защитных композиций. Была разработана и согласована программа испытаний указанных композиций. Совместно со специалистами ФГУП ЦНИИмаш была отлажена методика испытаний образцов. Бы-

ло проведено 25 огневых испытаний образцов при угле обстрела 0° и 60° к нормали при температуре 20°C. При нормальной температуре были выбраны наиболее оптимальные варианты в плане выполнения требований по стойкости брони и минимальной удельной массе. Выбранные варианты дополнительно испытывались при температуре -60°C. На основании защитных композиций, минимальных по удельной массе и успешно прошедших все испытания, была разработана конструкторская документация противоосколочной защиты кузова контейнера.

### Литература

1. Патент РФ № 2329455, МПК F41H5/04, публ. 20.07.2008г. Авторы: Заболотский А.А., Козлова Т.М., Кулаков Н.А.
2. Кулаков Н.А., Любин А.Н. Исследование взаимодействия пробойника с композиционной защитной панелью. Известия МГТУ «МАМИ» №1(5), научный рецензируемый журнал. М. окт. 2008, 53-56с.
3. Кулаков Н.А., Любин А.Н. Особенности конструкции композитной брони повышенной живучести. Известия МГТУ «МАМИ» № 1(11), научный рецензируемый журнал. М. окт. 2001, 46-51с.
4. Заявка № 2010150701/11 от 13.12.2010 на изобретение “Композитная броня повышенной живучести”. Авторы: Кулаков Н.А., Любин А.Н.
5. Заявка № 2011139666/11 от 30.09.2011 на изобретение “Композитная броня с облицовочным слоем”. Авторы: Кулаков Н.А., Любин А.Н.
6. Заявка № 2011139667/11 от 30.09.2011 на изобретение “Комбинированная композитная броня”. Авторы: Кулаков Н.А., Любин А.Н.

### **Использование теории оптимального управления при исследовании силовой установки гибридного автомобиля**

Куликов И.А.

Университет машиностроения  
8(495)223-05-23 (1204), [mansmart@list.ru](mailto:mansmart@list.ru)

**Аннотация.** В статье описываются теоретические аспекты создания стратегии управления для автомобиля с гибридной силовой установкой (ГСУ). Охарактеризованы свойства ГСУ, которые определяют топливную экономичность и экологическую безопасность гибридного автомобиля. Проведен анализ энергообмена в ГСУ и предложен путь его оптимизации с помощью использования методов теории оптимального управления, в частности динамического программирования (ДП). Представлена математическая модель автомобиля с ГСУ, используемая в программе поиска управления ГСУ. Изложены теоретические основы динамического программирования. Описаны наиболее интересные результаты исследований, проведенных с использованием ДП. В конце статьи сделаны выводы о целесообразности использования динамического программирования при разработке и исследовании ГСУ.

**Ключевые слова:** гибридный автомобиль, гибридная силовая установка, ГСУ, стратегия управления ГСУ, оптимальное управление, динамическое программирование, математическое моделирование.

#### **1. Свойства гибридных автомобилей**

Основными целями создания гибридного автомобиля являются повышение эффективности использования энергии жидкого топлива (и, как следствие, уменьшение его расхода) и локальное улучшение экологической ситуации. Для достижения первой цели используются в основном два свойства комбинированной энергетической установки (КЭУ):

- возможность обеспечивать трогание и движение автомобиля на электрической тяге без использования двигателя внутреннего сгорания (ДВС), которая позволяет выключать ДВС при остановке автомобиля и, следовательно, не расходовать топливо в режиме холо-